

## ЭЛЕКТРОФОТОМЕТРИЯ СПЕКТРАЛЬНО ДВОЙНОЙ ЗВЕЗДЫ Σ12A

Н. Л. МАГАЛАШВИЛИ, Я. И. КУМСИШВИЛИ

Спектрально двойная звезда Σ12 A (*Boss* 35 яркая) наблюдалась нами в 1955 году с целью обнаружения возможной затменности. Эта звезда — более яркий компонент визуально двойной звезды Σ12 ( $BD +8^{\circ}19$ ).

Переменность лучевых скоростей звезды Σ12 A была обнаружена Мак Кормаком [1] в 1934 г. Тогда же было установлено, что она является спектрально двойной звездой, и получены следующие элементы:

$$\begin{aligned} p &= 0^{\text{d}} 84165, \\ e &= 0.027, \\ \gamma &= 0.37 \text{ км/сек}, \\ k_1 &= 87.96 \text{ км/сек}, \\ k_2 &= 92.57 \text{ км/сек}, \\ T &= 2426974.194, \\ a_1 \sin i &= 1017630 \text{ км}, \\ a_2 \sin i &= 1070980 \text{ км}. \end{aligned}$$

Здесь  $p$  — период,  $e$  — эксцентриситет орбиты,  $\gamma$  — лучевая скорость центра тяжести системы,  $k_1$  и  $k_2$  — полуамплитуды колебаний лучевых скоростей обеих звезд,  $T$  — начальная эпоха,  $a_1$  и  $a_2$  — большие полуоси орбит главной звезды и спутника по отношению к центру тяжести,  $i$  — наклонение плоскости орбиты к плоскости, перпендикулярной к лучу зрения.

Мак Кормаком вычислено, на основе абсолютных величин компонент и соотношения масса-светимость, приблизительное значение угла  $i$ , которое получилось около  $30^{\circ}$ . Это условие делает маловероятным заметное затмение.

Тем не менее, эту звезду мы включили в программу наших электрофотометрических наблюдений с целью обнаружения возможной затменности хотя бы в малой степени, что могло бы проявиться в виде незначительного изменения блеска, доступного для выявления фотоэлектрическим методом.

Звезда Σ12 представляет собой интересный случай визуально двойной системы, у которой одна из компонент — спектрально двойная звезда. Фотоэлектрические наблюдения этой звезды велись нами на 33-см рефлекторе, в несмитовском фокусе которого расположен электрофотометр. До июля 1955 г. применялся электрофотометр, снабженный сурьяно-цезиевым фотоэлементом, а затем — электрофотометр с сурьяно-цезиевым фотодиодом. Спектральные чувствительности фотоэлемента и фотодиода близки друг к другу. Первые тестировочные наблюдения проводились в моменты ожидаемых максимума и минимума блеска, т. е.

Отв. редактор Е. К. Харадзе

при спектроскопических фазах, соответствующих наибольшему и наименьшему значению лучевых скоростей. После того, как было получено изменение блеска, наблюдения были распространены на остальные фазы периода.

Таблица I

$JD_{\odot}$	$\varphi$	$\Delta m$	Примечание	$JD_{\odot}$	$\varphi$	$\Delta m$	Примечание
2435337	465	0.768	m	2435395	359	p	m
	486	0.793	0.817		363	0.554	0.807
	488	0.976	.818		369	0.559	.804
	491	0.799	.838		379	0.647	.838
	494	0.803	.824		284	0.653	.834
	502	0.812	.825		288	0.658	.843
	504	0.815	.830		291	0.661	.843
341	377	0.416	.793		296	0.667	.846
	381	0.421	.766		300	0.672	.846
	384	0.425	.791		306	0.679	.847
	387	0.428	.780		311	0.685	.850
	404	0.448	.771		315	0.690	.843
	406	0.451	.790		319	0.695	.848
	409	0.454	.784		333	0.711	.863
	452	0.506	.772	397	299	0.859	.840
	456	0.510	.799		308	0.871	.852
	461	0.516	.819		315	0.877	.839
	463	0.519	.811		320	0.884	.843
	470	0.828	.796		324	0.889	.832
345	409	0.207	.848		329	0.895	.822
	412	0.211	.859		351	0.921	.837
	417	0.216	.840	445	295	0.887	.812
	420	0.220	.830		300	0.842	.813
	423	0.224	.822		304	0.893	.830
	431	0.233	.834		307	0.897	.805
	469	0.278	.843		311	0.906	.818
	470	0.279	.868		314	0.909	.841
	474	0.284	.848		337	0.937	.792
	476	0.286	.842		341	0.941	.785
393	241	0.038	.783		346	0.947	.790
	245	0.042	.794		350	0.952	.803
	248	0.046	.805		356	0.959	.804
	280	0.084	.812		360	0.964	.784
	283	0.087	.831		368	0.974	.793
	289	0.094	.824		371	0.975	.776
394	299	0.294	.853		376	0.979	.778
	308	0.306	.853		385	0.991	.777
	312	0.310	.846		389	0.996	.770
	316	0.315	.855		393	0.001	.742
	320	0.320	.862		399	0.008	.764
	325	0.325	.848	457	215	0.047	.856
	330	0.331	.848		219	0.052	.848
	349	0.359	.838		223	0.056	.854
	354	0.360	.815		241	0.078	.854
	361	0.368	.790		250	0.088	.857
	366	0.375	.798		254	0.093	.855
	372	0.381	.780		265	0.106	.864
	376	0.386	.775		268	0.110	.858
395	331	0.521	.808		278	0.122	.852
	336	0.527	.802		284	0.129	.854
	440	0.533	.800		286	0.131	.841
	343	0.535	.803		291	0.137	.852

При наблюдениях звездой сравнения служила  $BD+7^{\circ}27$ , расположенная недалеко от  $BD+8^{\circ}19$  и имеющая спектр, близкий к классу последней. Всего было получено 106 оценок блеска  $BD+8^{\circ}19$ . Результаты наблюдений приведены в таблице I, в которой последовательно даны юлианский гелиоцентрический момент наблюдения, фаза, разность блеска звезды сравнения и переменной звезды.

Фазы вычислены по элементам:

$$M = 2434974.063 + 0^{\circ}84166 E,$$

где  $0^{\circ}84166$ —период орбитального движения спектрально-двойной звезды, определенный Мак Кормаком.

По наблюдениям обнаружено периодическое изменение блеска  $BD+8^{\circ}19$ . Надо отметить, что вследствие весьма незначительного углового расстояния между компонентами визуально двойной  $\Sigma 12$  пришлось ограничиться определением лишь суммарного блеска всей системы. Предварительные элементы опубликованы нами в Астрономическом Циркуляре АН СССР [2].

На основе полученных наблюдений построена нормальная кривая. В табл. II приведены последовательно: среднее значение фазы, среднее значение разности блеска звезды сравнения и переменной и число наблюдений, вошедших в образование нормальной точки. Кривая приведена на рис. 1.

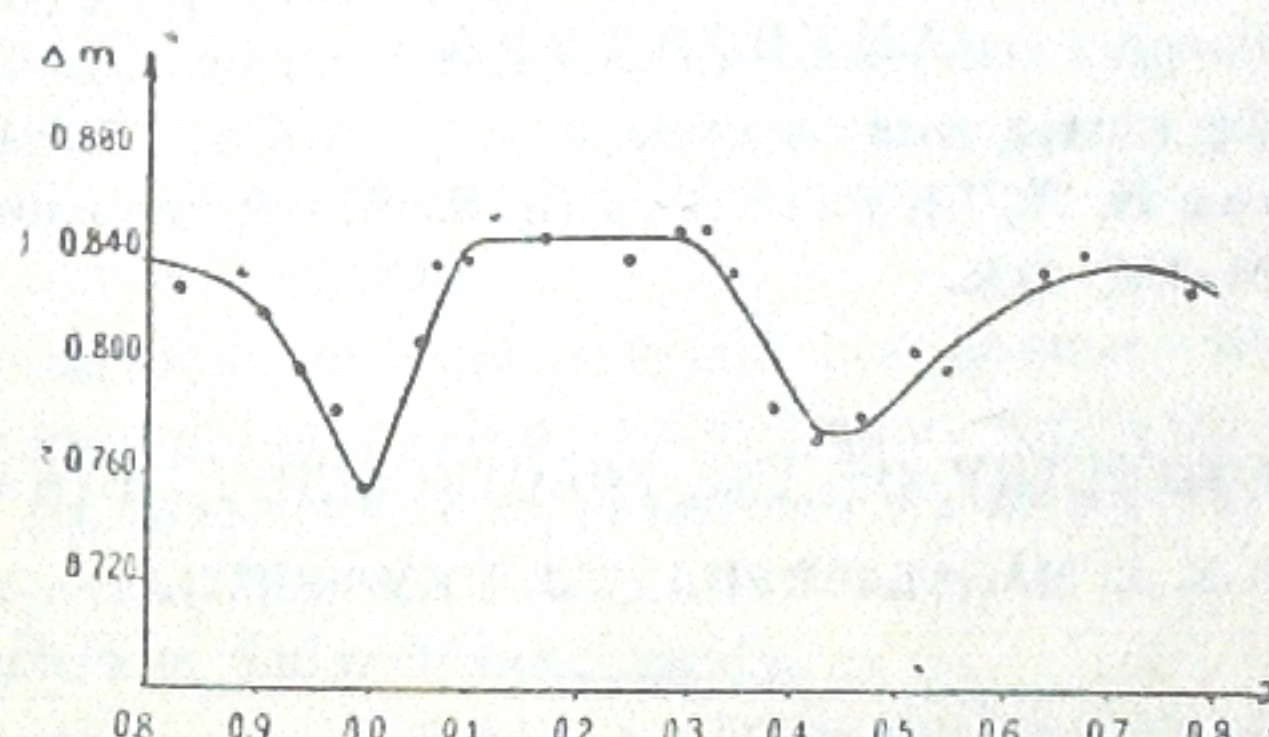


Рис. 1

Наши наблюдения с полной достоверностью устанавливают, что спектрально-двойная  $\Sigma 12 A$  представляет собой затменно переменную.

Таблица II

$\varphi$	$\Delta m$	$n$	$\varphi$	$\Delta m$	$n$
0.002	0.753	3	0.470	0.782	3
0.043	0.810	4	0.519	0.808	5
0.068	0.839	4	0.543	0.800	7
0.090	0.842	4	0.637	0.837	5
0.113	0.858	3	0.679	0.846	6
0.163	0.851	5	0.773	0.832	5
0.242	0.842	6	0.822	0.829	4
0.292	0.849	4	0.884	0.835	6
0.315	0.854	3	0.909	0.818	6
0.342	0.837	4	0.947	0.798	5
0.385	0.787	5	0.977	0.782	5
0.430	0.777	4			

По полученной кривой блеска можно определить следующие элементы: амплитуда в главном минимуме  $A_1 = 0^m 09$ , амплитуда вторичного минимума  $A_2 = 0^m 07$ , продолжительность затмения  $D = 0^h 18$ , смещение вторичного минимума относительно последовательных главных:  $t_2 - t_1 - \frac{P}{2} = -0^h 05$ . Затмения частные. При этом следует отметить, что эти элементы характеризуют кривую изменения блеска всей системы. Истинные элементы будут несколько отличны от приведенных.

Тот факт, что вторичный минимуммещен относительно последовательных главных, говорит об эллиптичности орбиты, что находится в согласии со спектроскопическими данными.

Получение надежных орбитальных элементов  $\Sigma 12A$  на основании фотоэлектрических измерений встречает некоторое затруднение, ввиду необходимости исключить из наблюдений блеск более слабого компонента визуально двойной звезды. Это требует специального определения его блеска в той же цветовой системе, что и имеющиеся фотоэлектрические наблюдения.

Январь, 1956 г.

#### ЛИТЕРАТУРА

1. Mac Cormack E., ApJ 80, № 2, 1934.
2. Магалашвили Н. Л., Кумшишвили Я. И., Астрономический циркуляр АН СССР, № 166, 1956.

#### ELECTROPHOTOMETRY OF THE SPECTROSCOPIC BINARY $\Sigma 12A$

N. L. MAGALASHVILI, J. J. KUMSISHVILI

(Summary)

The  $\Sigma 12$  star represents an interesting case of double visual system having a spectral binary as one of components.

Periodic brightness variations of  $\Sigma 12A$  are revealed.

Our observations have established quite reliably that the spectroscopic binary  $\Sigma 12A$  is an eclipsing variable.

January, 1956

#### ФОТОЭЛЕКТРИЧЕСКИЕ НАБЛЮДЕНИЯ $12 Lacertae$

Н. Л. МАГАЛАШВИЛИ, Я. И. КУМСИШВИЛИ

В 1912 году Адамс [1] обнаружил изменение лучевых скоростей звезды  $12 Lac$ ; Юнг [2] нашел период изменения равным 4.6 ч. На основе фотоэлектрических наблюдений Стеббинс [3] обнаружил изменение блеска этой звезды. Тогда же стало известно, что она является звездой типа  $\beta$  Canis Majoris, изменяющей свой блеск и лучевые скорости с главным периодом  $0^d 1931$ . Было подмечено также, что она имеет еще второй период  $0^d 1974$ .

Проведя фотоэлектрическое и спектроскопическое исследования  $12 Lac$ , де Ягер [4] в 1953 г. пришел к заключению, что эти два периода недостаточно хорошо представляют наблюденные изменения блеска и лучевых скоростей. Де Ягер утверждает, что кроме этих двух периодов должны иметься еще третий  $p_3 = 0.1558$  и четвертый  $p_4 = 0.162$  периоды, а возможно и пятый и шестой.

Де Ягер находит, что для решения этой чрезвычайно интересной задачи целесообразна организация непрерывных наблюдений из разных обсерваторий, расположенных на различных долготах. Так как амплитуда изменений блеска меняется между  $0^m 08$  и  $0^m 15$ , полезны только фотоэлектрические наблюдения блеска.

По предложению де Ягера, в организованной им в 1956 г. международной кооперированной работе по фотоэлектрическим наблюдениям  $12 Lac$  принимала участие и Абастуманская астрофизическая обсерватория.

Наблюдения проводились с 28 августа по 11 сентября и с 27 сентября по 11 октября 1956 года, при помощи звездного электрофотометра, установленного в несмитовском фокусе 33-см рефлектора. В электрофотометре применен сурьяно-цеиневый фотоумножитель.

Наблюдения велись без фильтра и через желтый фильтр. Эффективные длины волн—около  $420 \text{ m}\mu$  и  $527 \text{ m}\mu$ , соответственно.

Методика наблюдений и их обработка была аналогичной применяемой в Абастуманской обсерватории, при наблюдениях переменных звезд с помощью электрофотометра [5, 6].

Звездами сравнения служили: 1) 10 Lacertae и 2) 8 Lacertae. Получено 311 наблюдений.